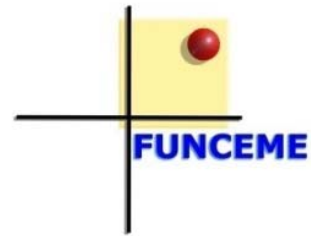




Institut de recherche
pour le développement



Oceanos Tropicais e Chuva no Nordeste

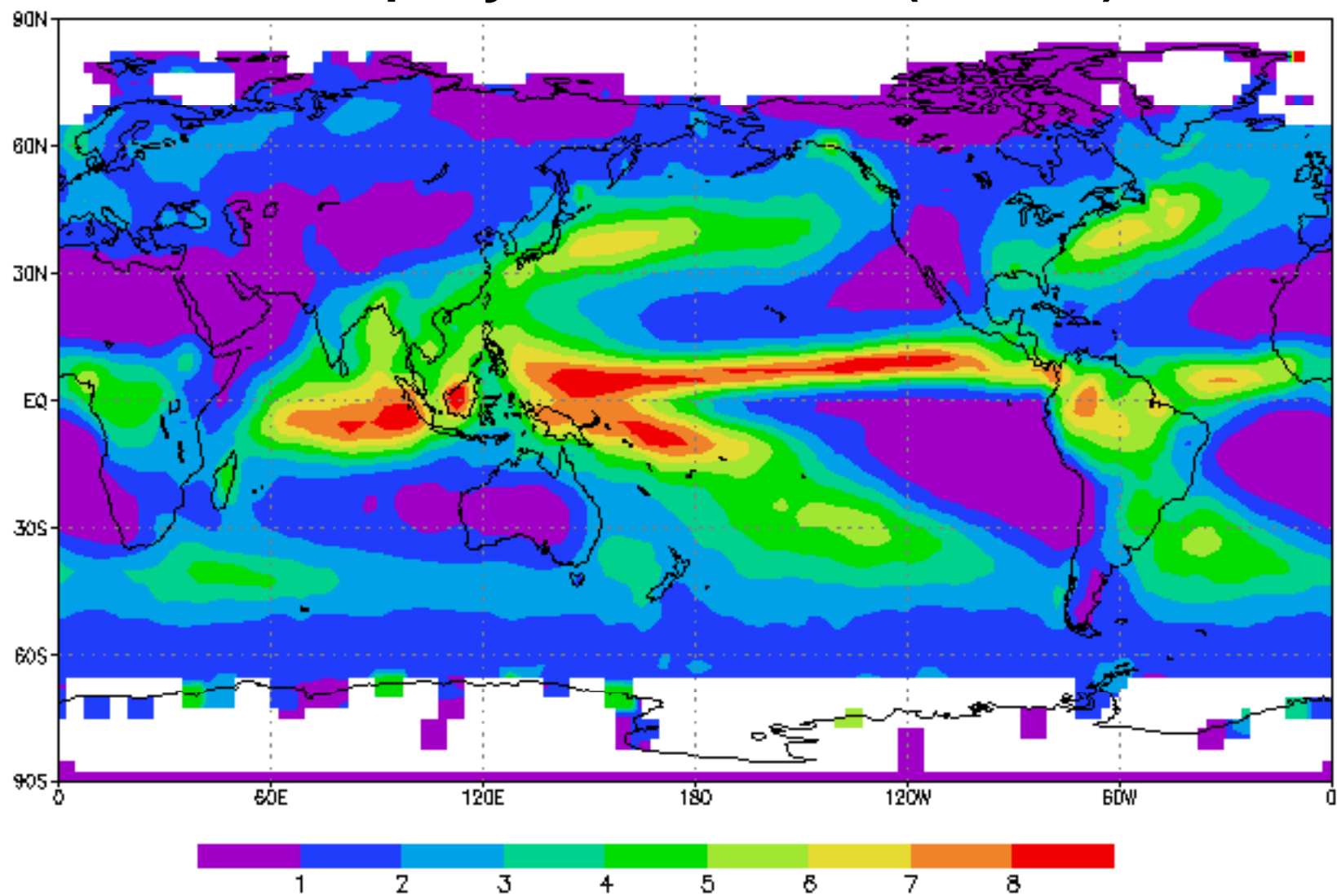
Jacques Servain

**Diretor de Pesquisas no IRD
Visitante Científico à FUNCEME, Fortaleza, CE**

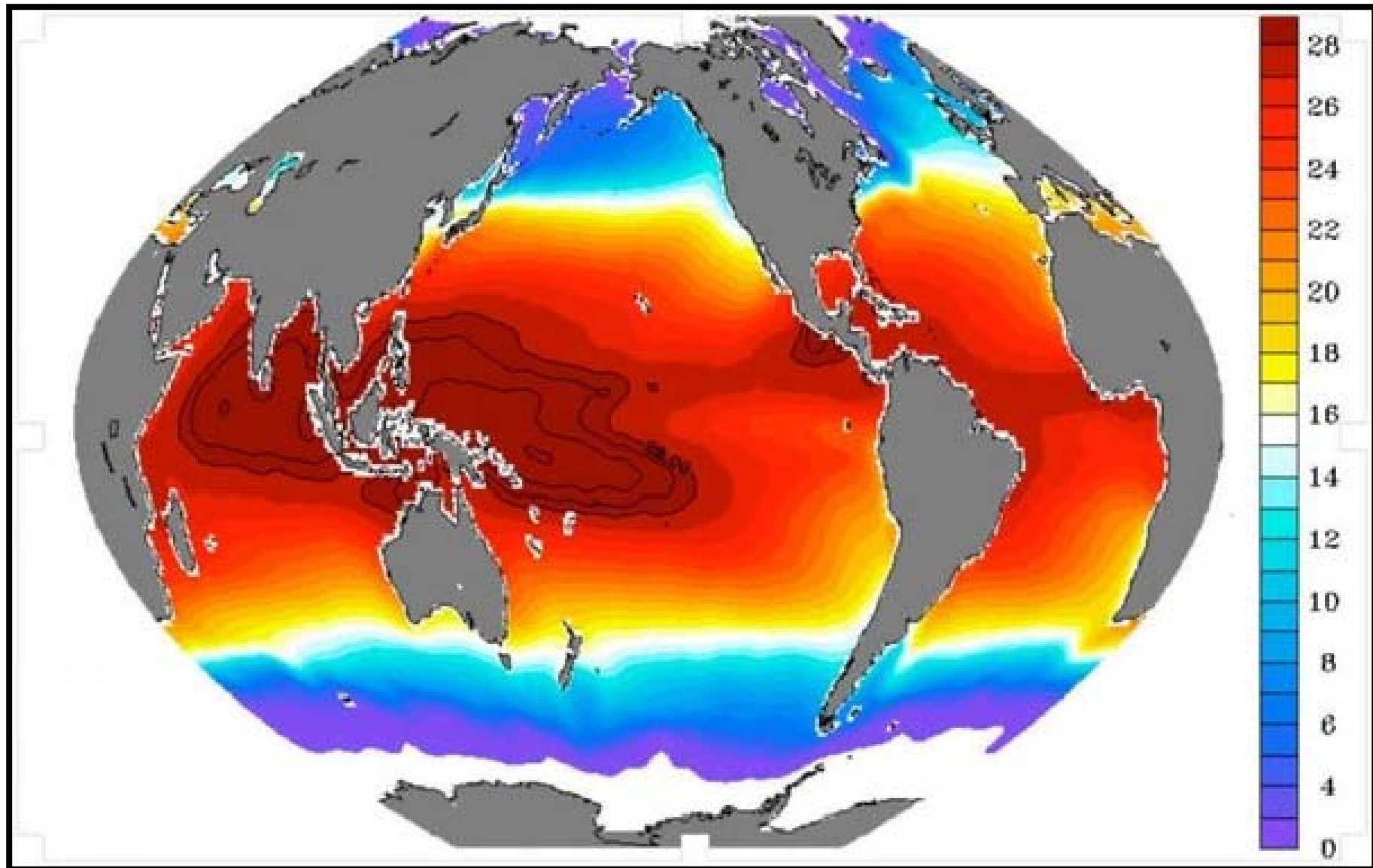
XVIII BRAZILIAN WATER RESOURCES SYMPOSIUM

Campo Grande city - Brazil, November 22 to 26, 2009

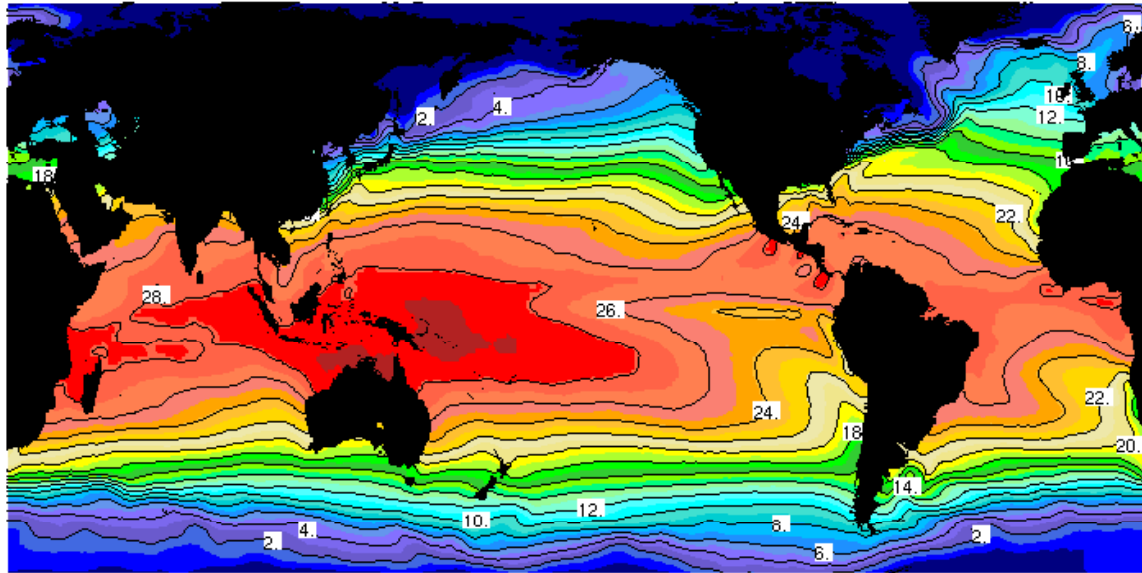
Precipitação Média Anual (mm/dia)



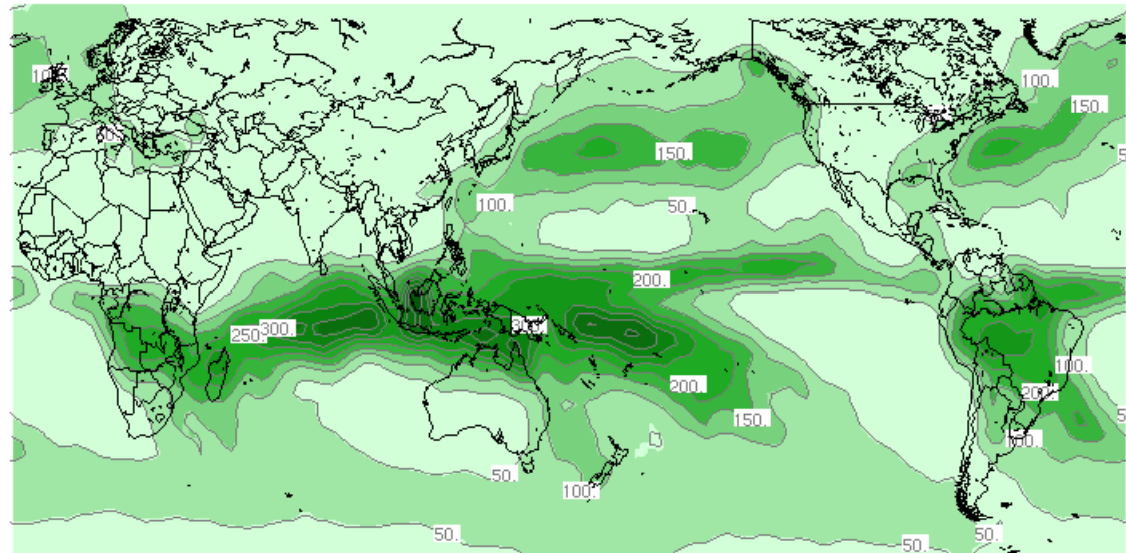
Média Anual da Temperatura de Superfície do Mar (TSM)



Chuva e TSM



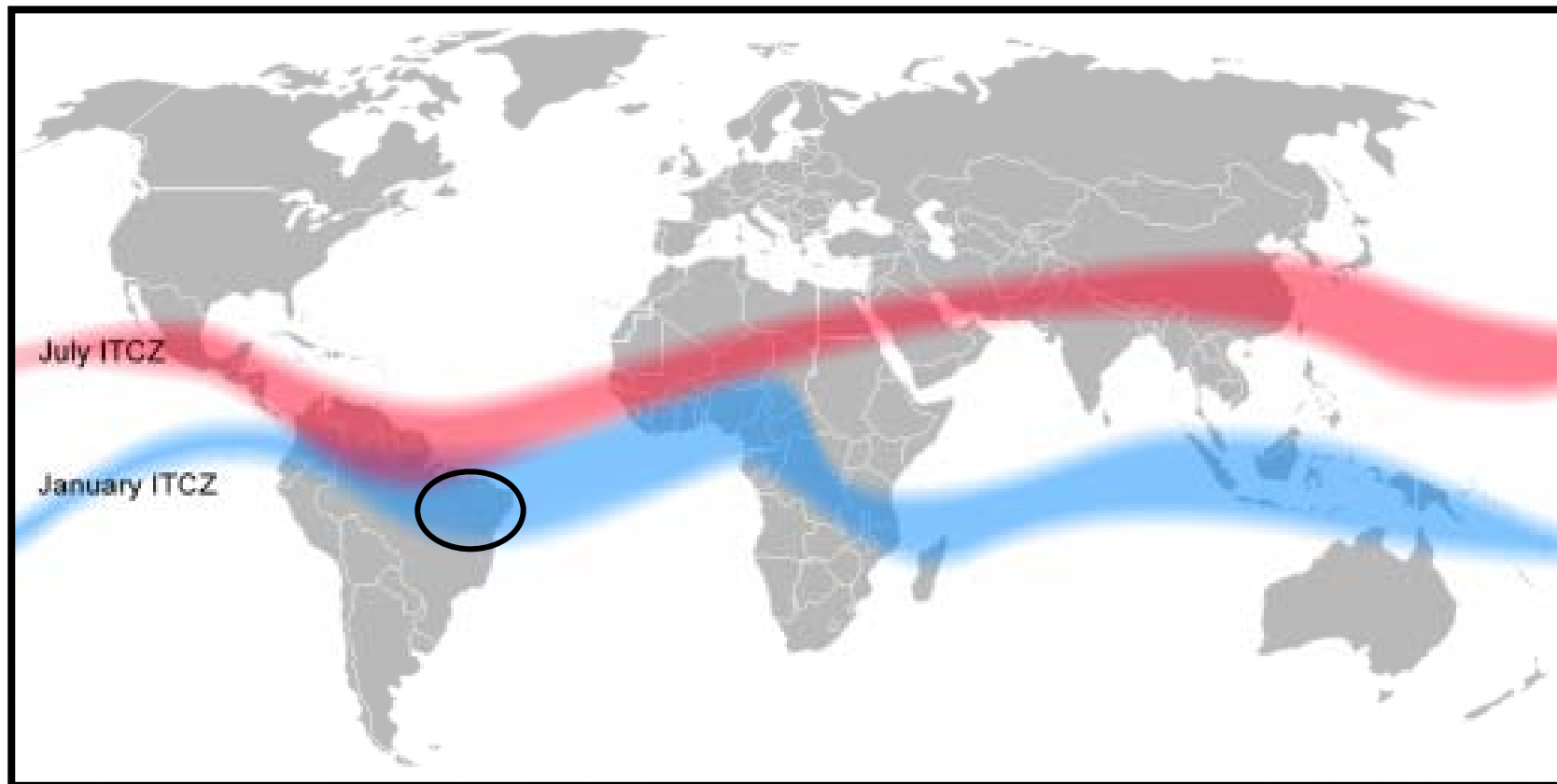
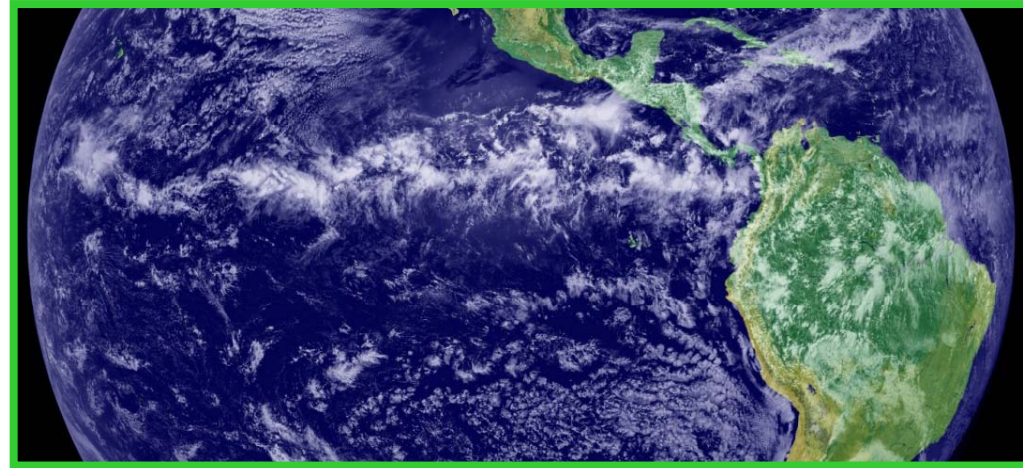
Jan

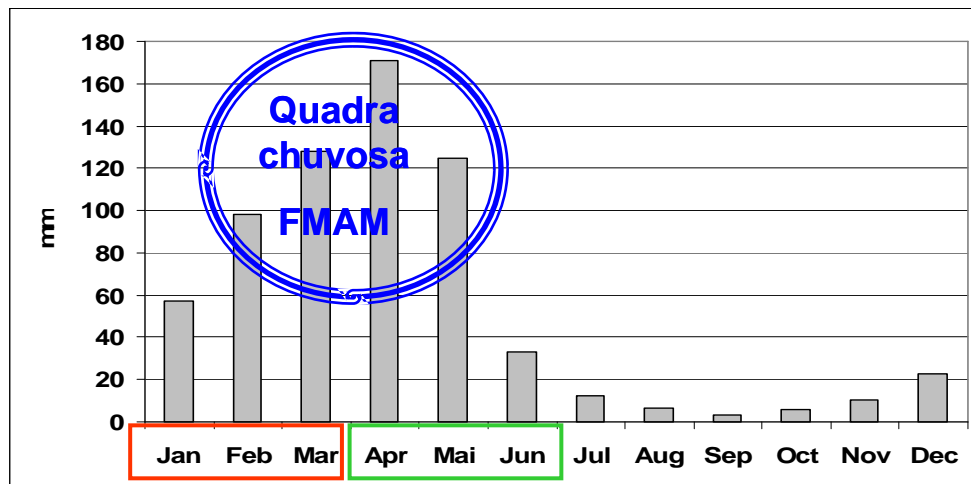
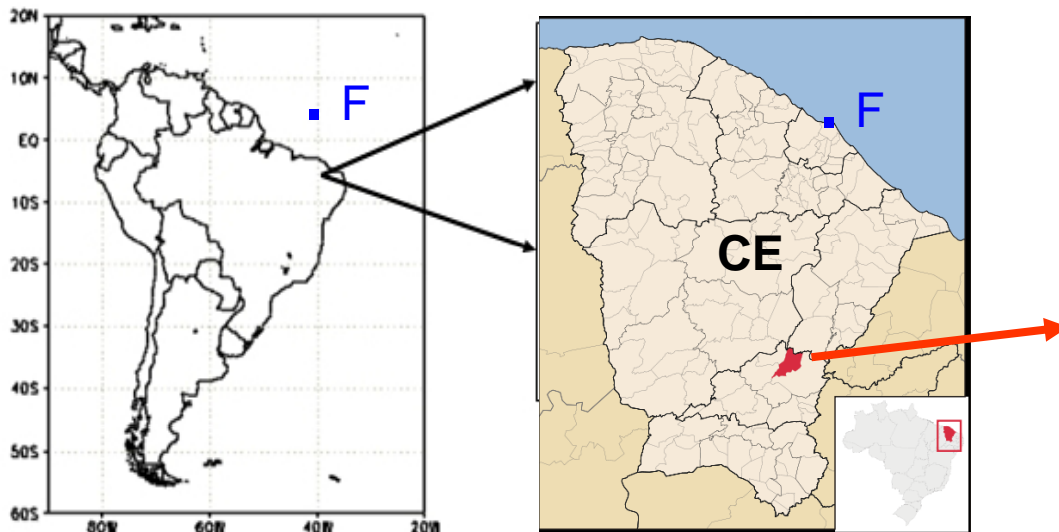


Jan

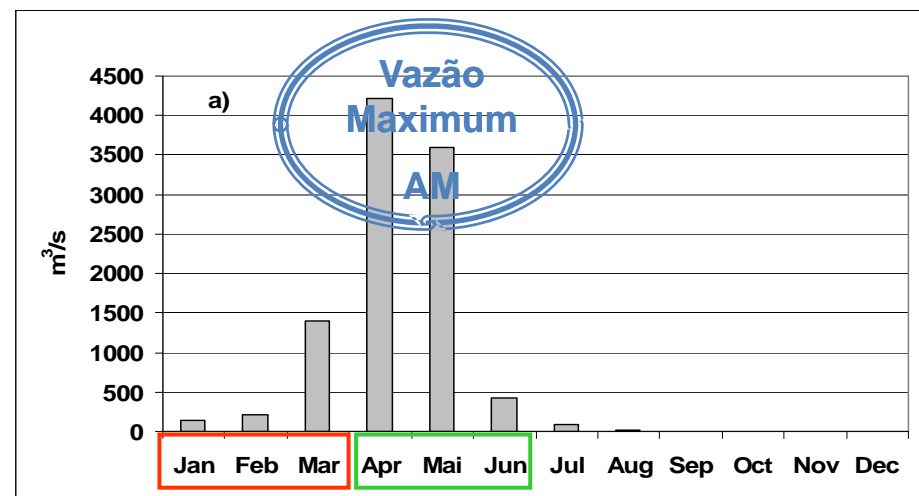
(From Souza Filho, 2009)

Zona de Convergência Inter-Tropical (ZCIT)

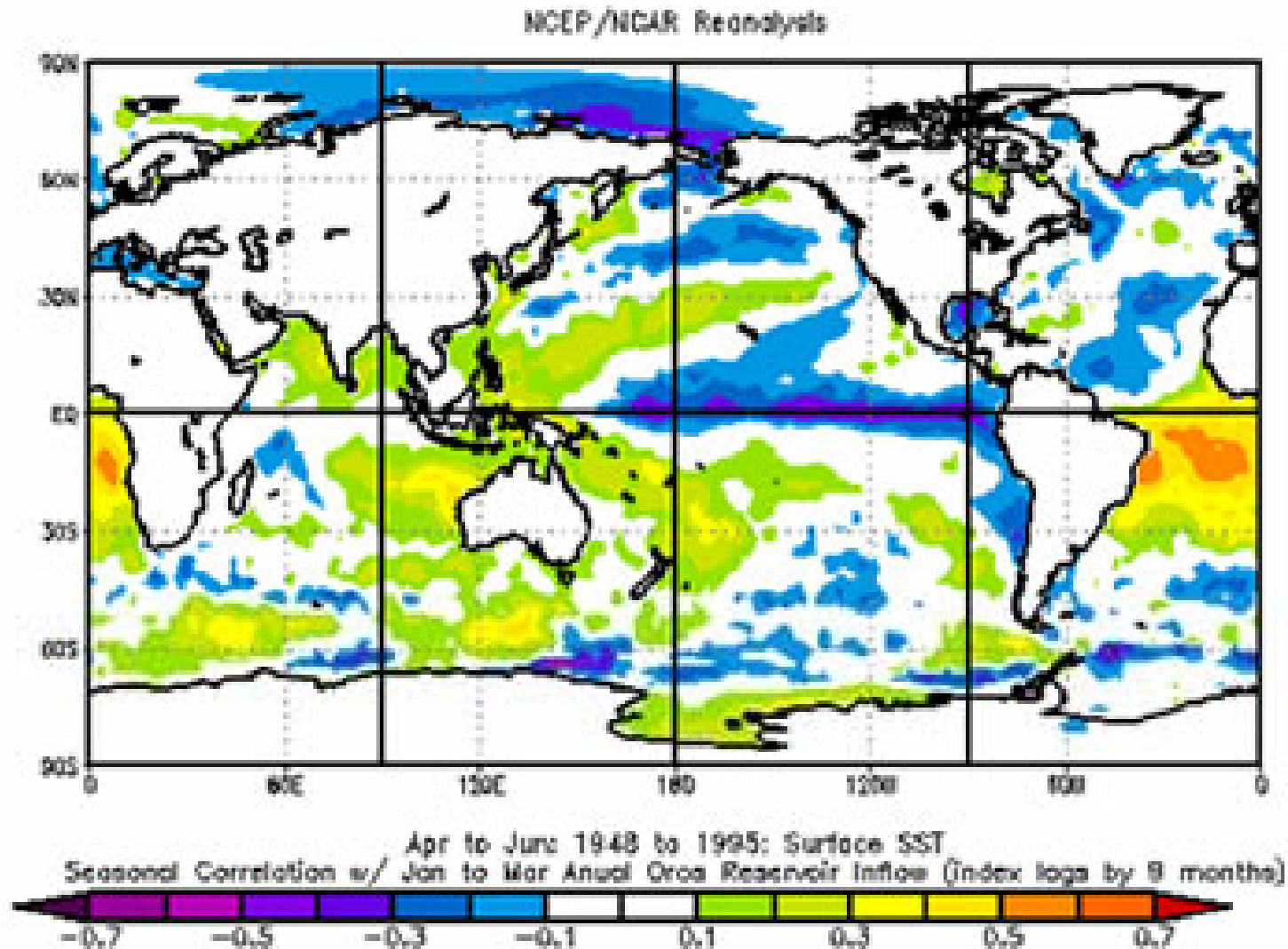




Monthly rainfall (in mm) on Iguatu station (Jaguaribe River basin)



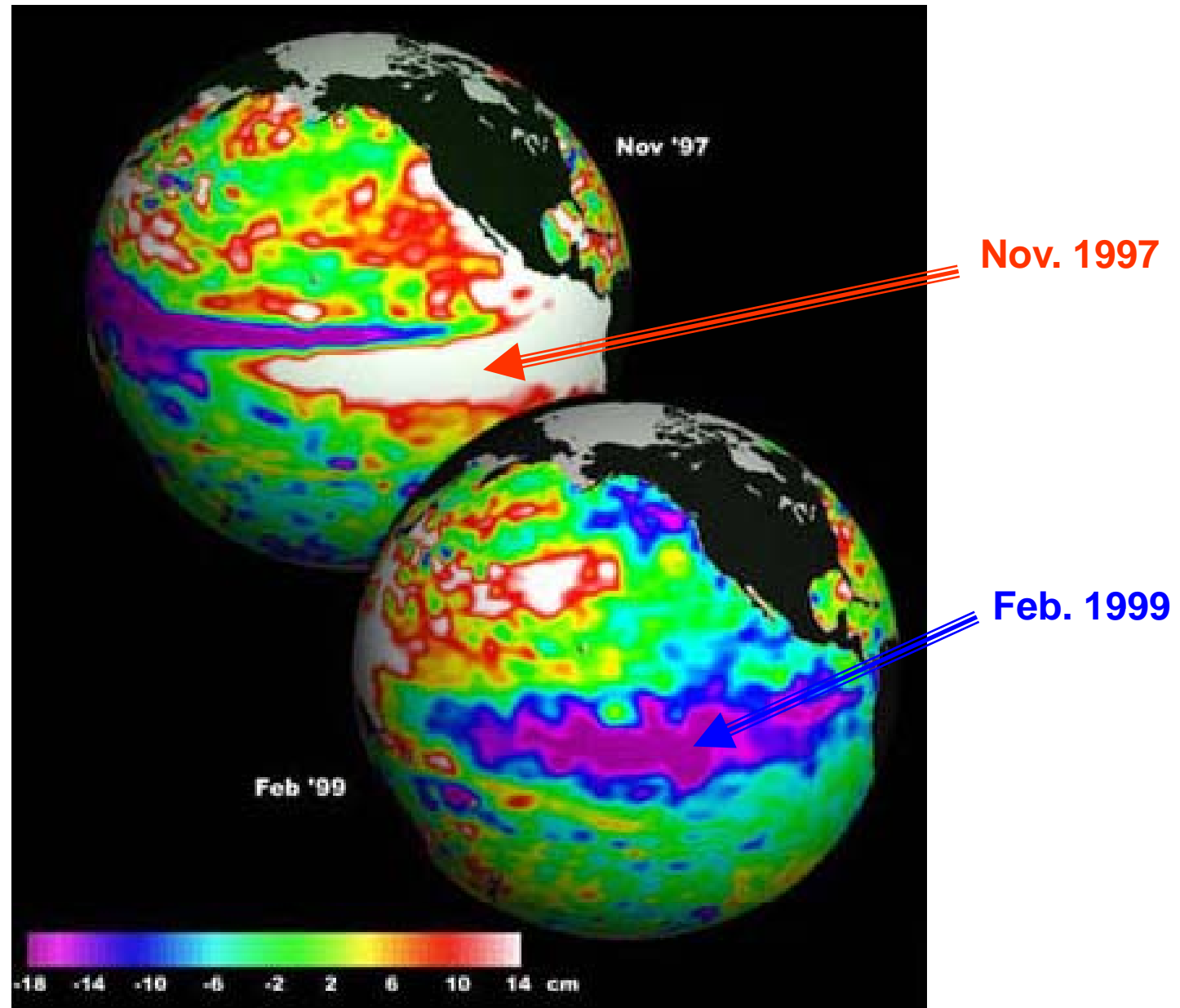
Monthly discharge (in m³/s) at Iguatu station (Jaguaribe River basin)



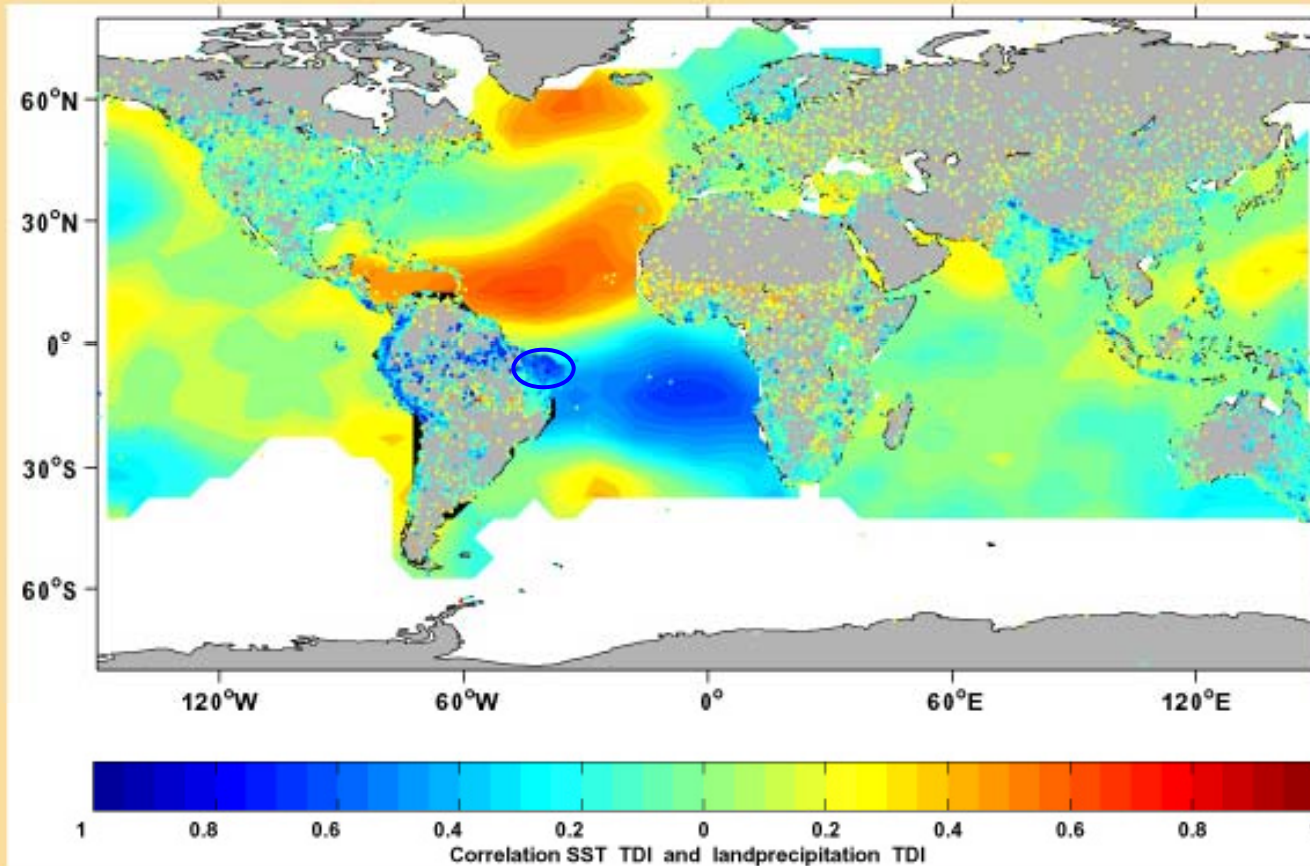
1948-1995 correlation between **April-June** SST and the Orores reservoir (CE) inflows 9 months later (**January-March**)

(Souza Filho et al., 2003)

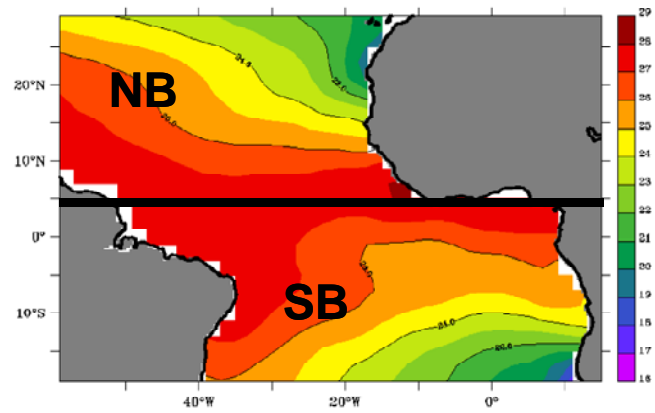
El Niño / La Niña - Southern Oscillation (ENSO)



Atlantic SST and Rainfall



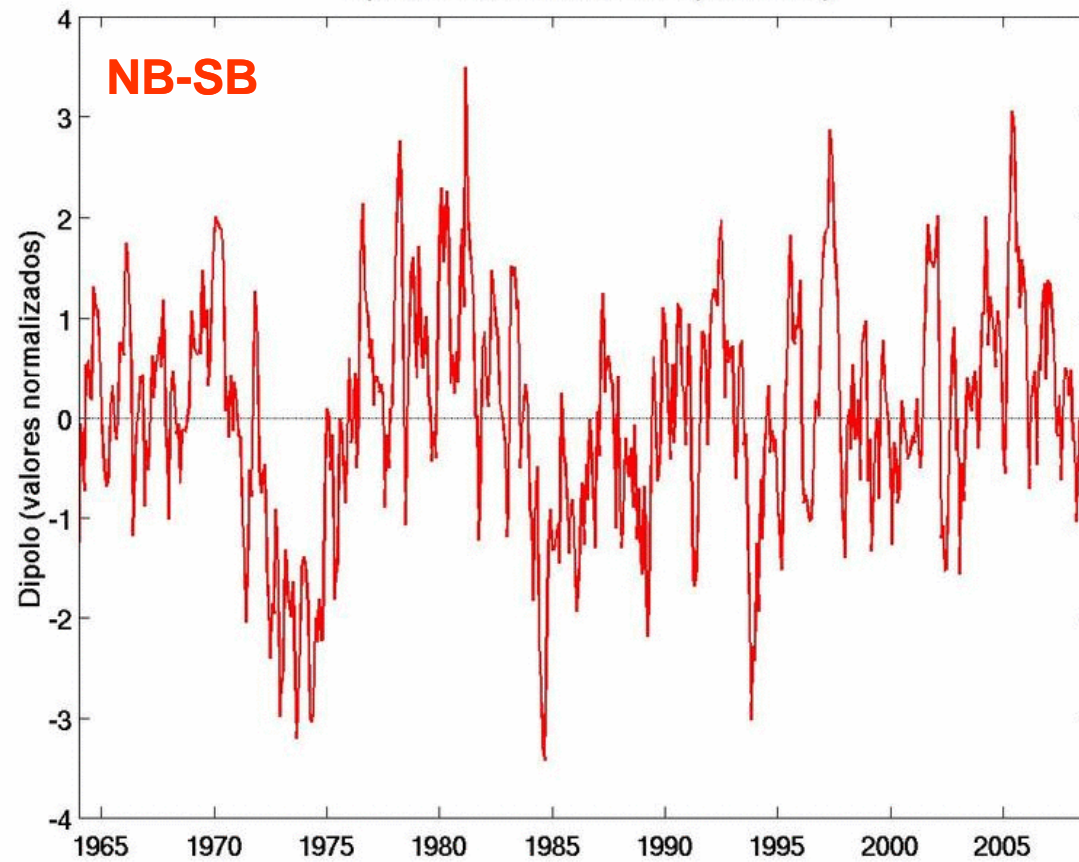
Correlation between the Atlantic cross ITCZ SST difference as defined by Servain (1991, *J. Geophys. Res.*, 15137-15146), and station rainfall. This figure is done for annual averages of both the index and the rainfall data from 47 years. The pattern of the Atlantic SST is very similar to the NAO pattern: i.e. during strong phases of the NAO, there are strong westerlies and north-easterlies, colder SST, and thus the ITCZ is further south. When ITCZ is further south, the correlation with Tropical Dipole Index (TDI) is negative, less precipitation over the Sahel region and more precipitation along the coastline in the Gulf of Guinea, more precipitation in the Nordeste Brazil as well (Y. Kushnir and G. Krahnmann, 1998, personal communication).

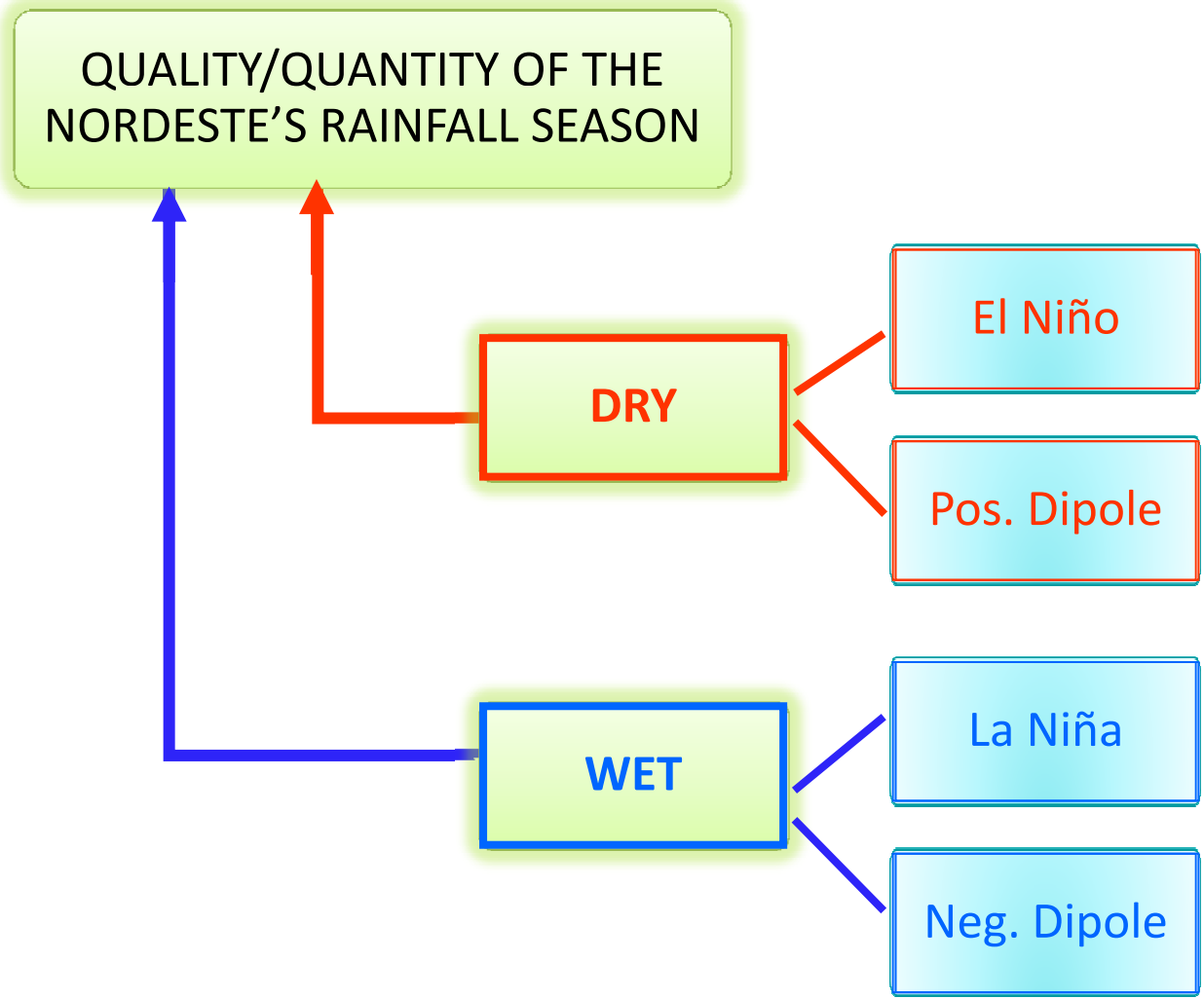


IRD
Institut de recherche
pour le développement

FUNCEME

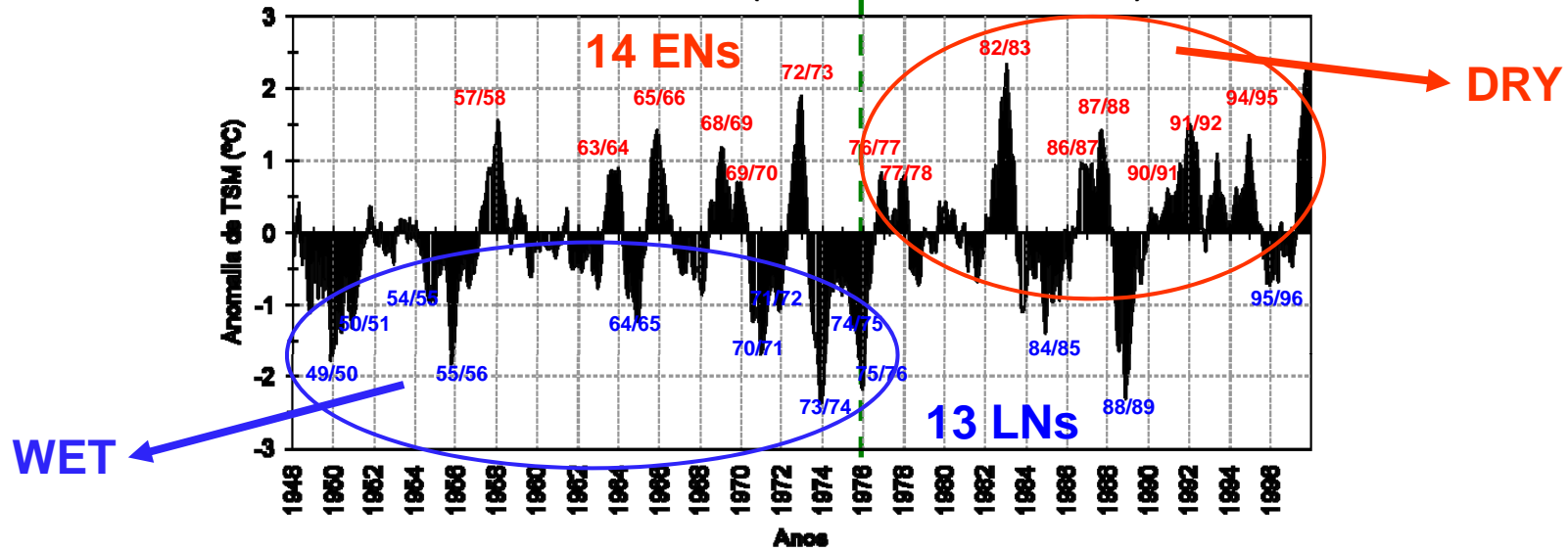
Dipolo de TSM do Atlântico (1964-2009)



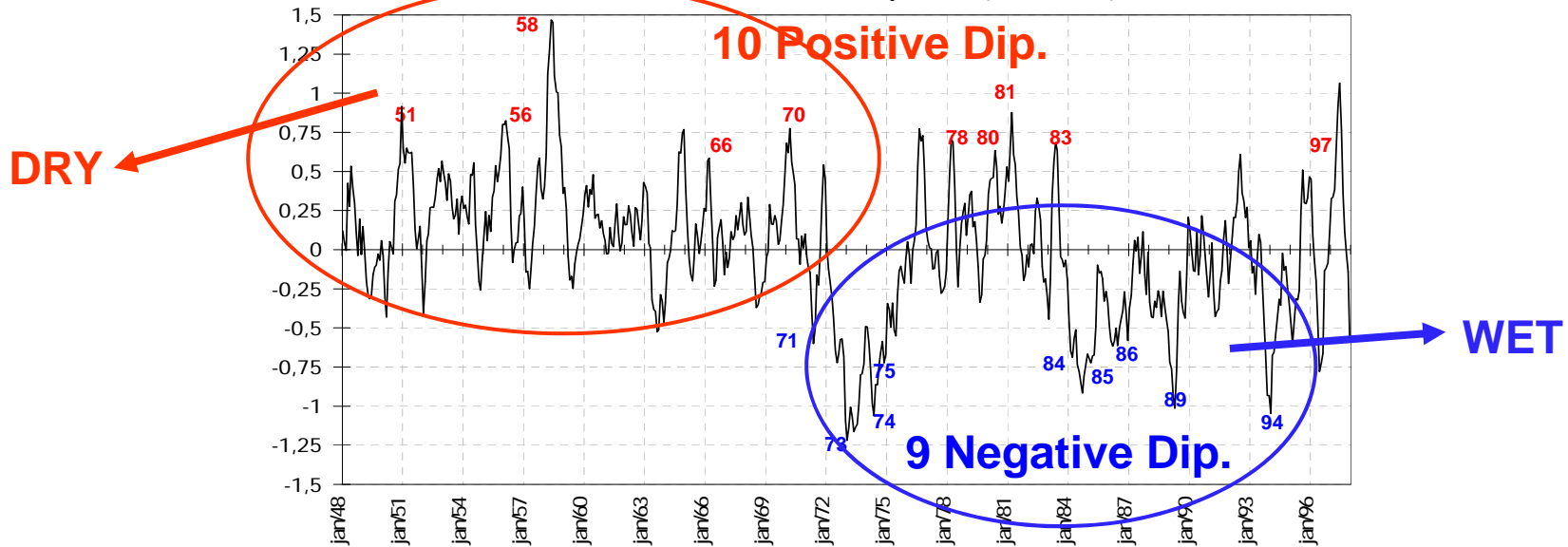


1948-1997

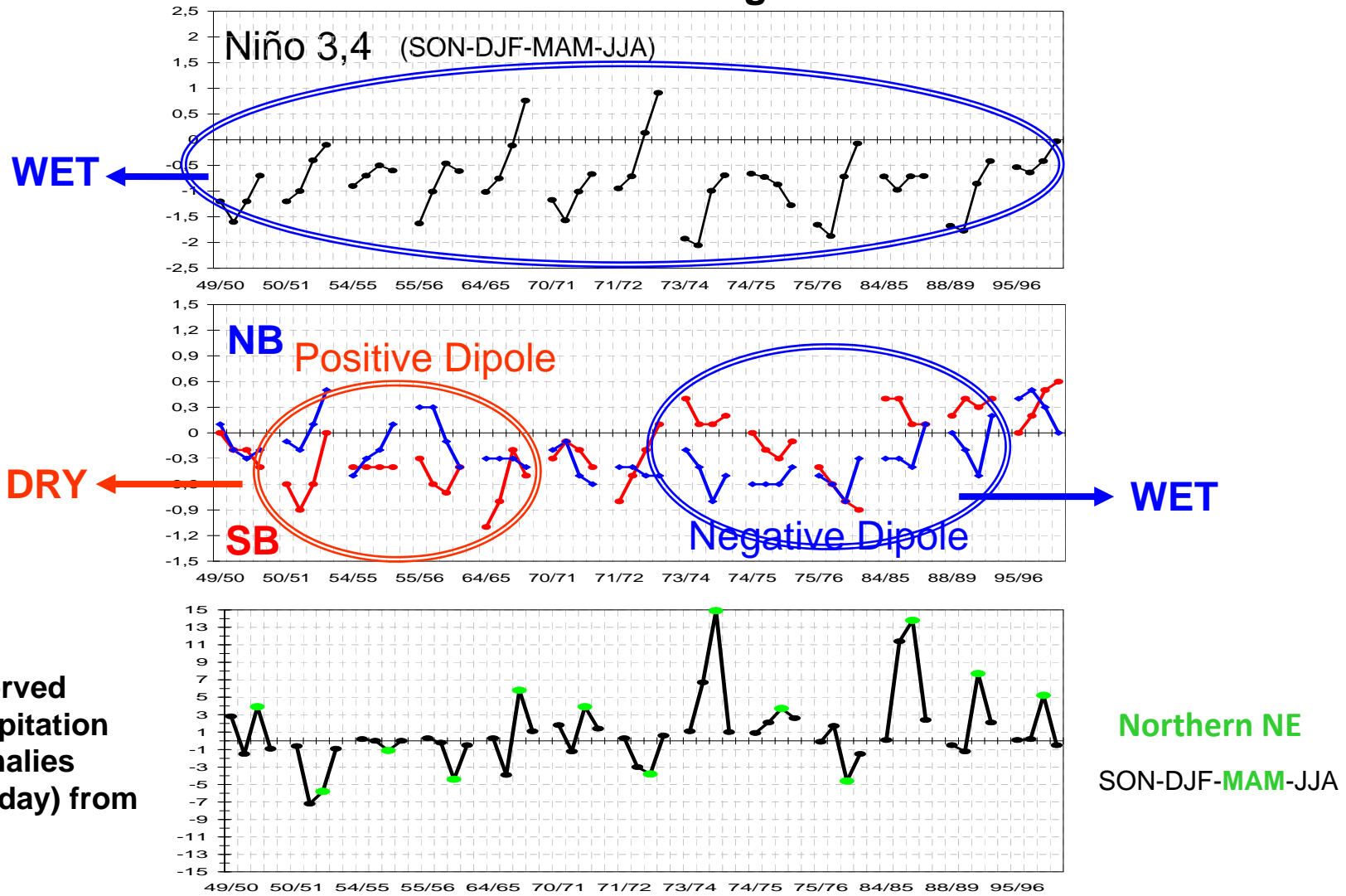
ENSO Index (El Niño and La Niña)



Atlantic Dipole (NB-SB)

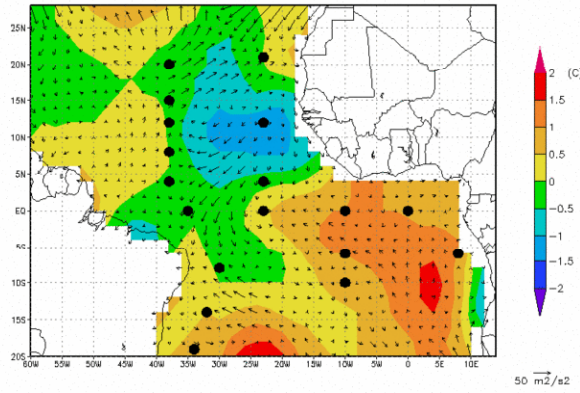


The 13 LN events during 1948-1997



(Lucena, 2008)

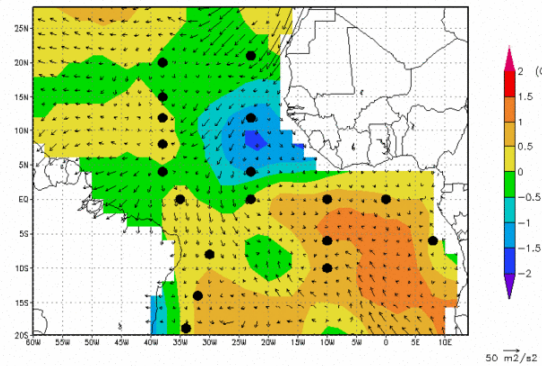
Tropical Atlantic SST and Pseudostress Vectors Anomalies - Mar 2009



**Março
2009**



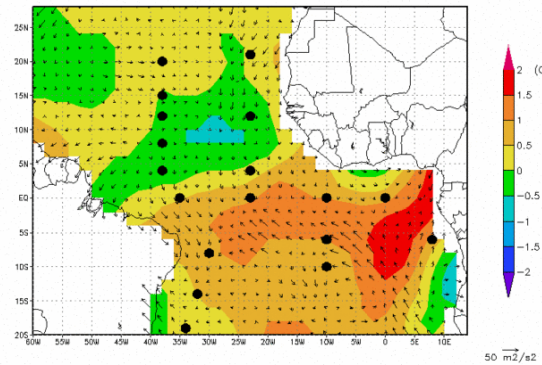
Tropical Atlantic SST and Pseudostress Vectors Anomalies - Apr 2009



**Abril
2009**



Tropical Atlantic SST and Pseudostress Vectors Anomalies - May 2009

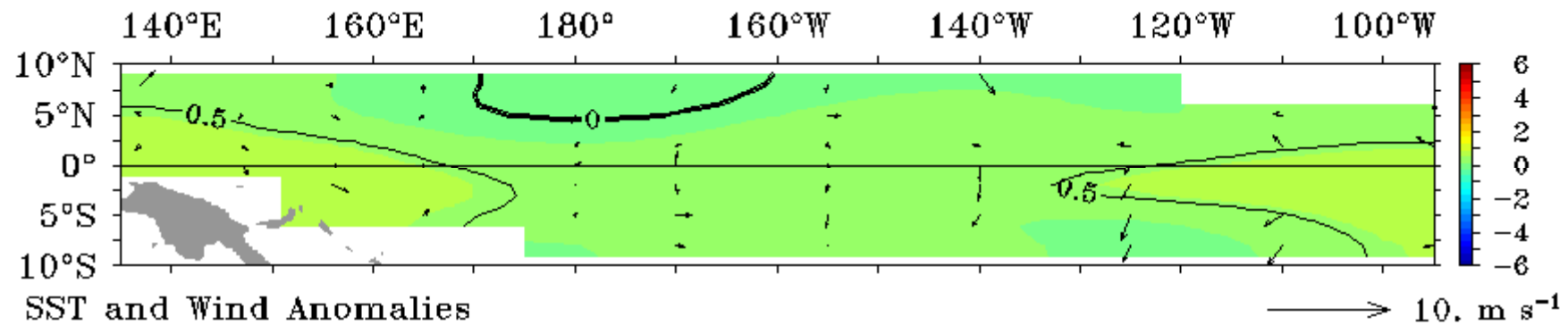


**Maio
2009**



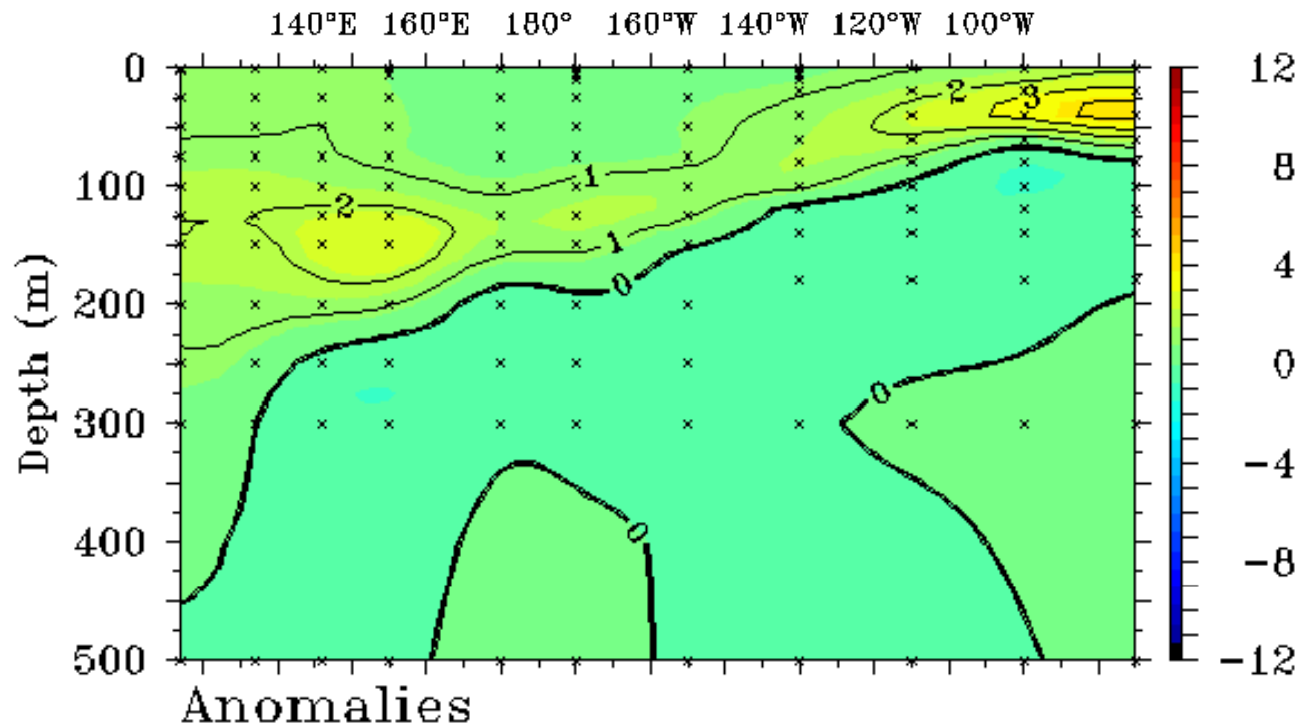
TAO/TRITON Monthly Data May 2009

SST ($^{\circ}\text{C}$)



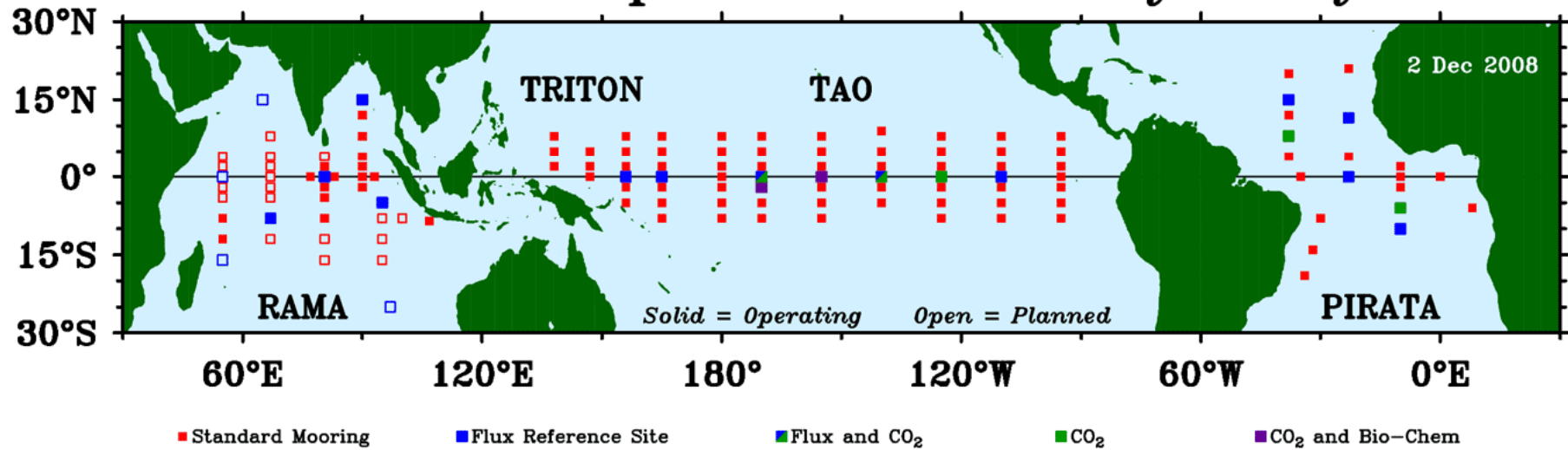
TAO/TRITON 5-Day Temperature ($^{\circ}\text{C}$)

End Date: May 13 2009 2°S to 2°N Average



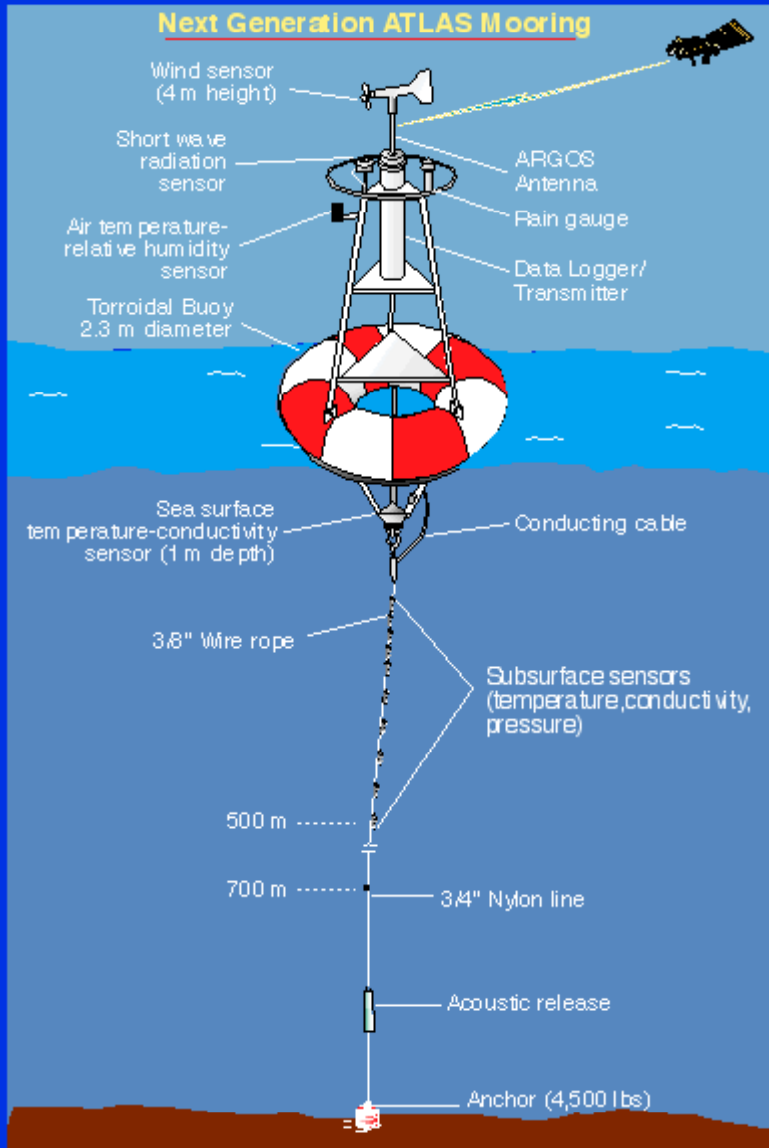
TAO/TRITON PIRATA RAMA

Global Tropical Moored Buoy Array

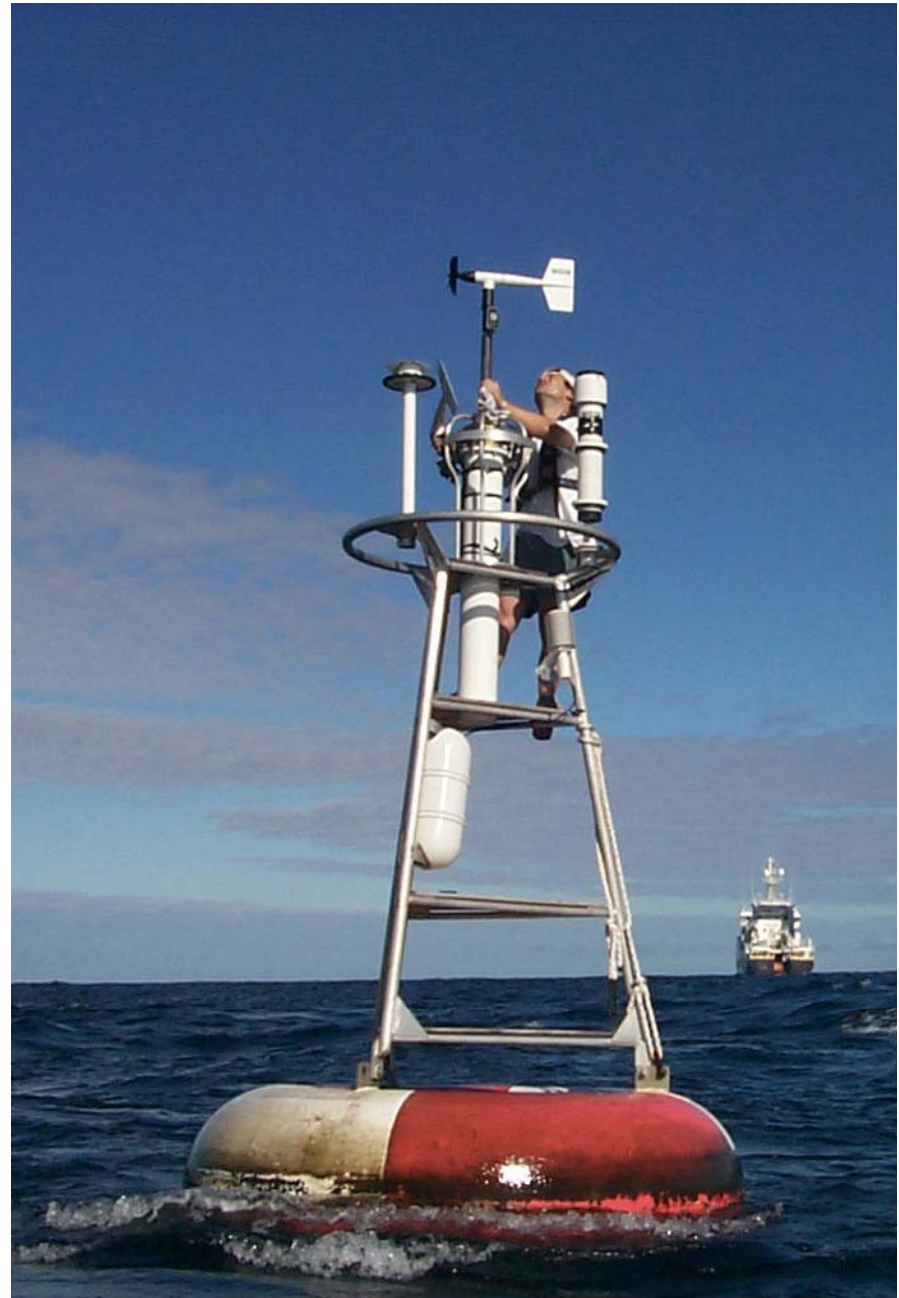


2008 →

Next Generation ATLAS Mooring



300

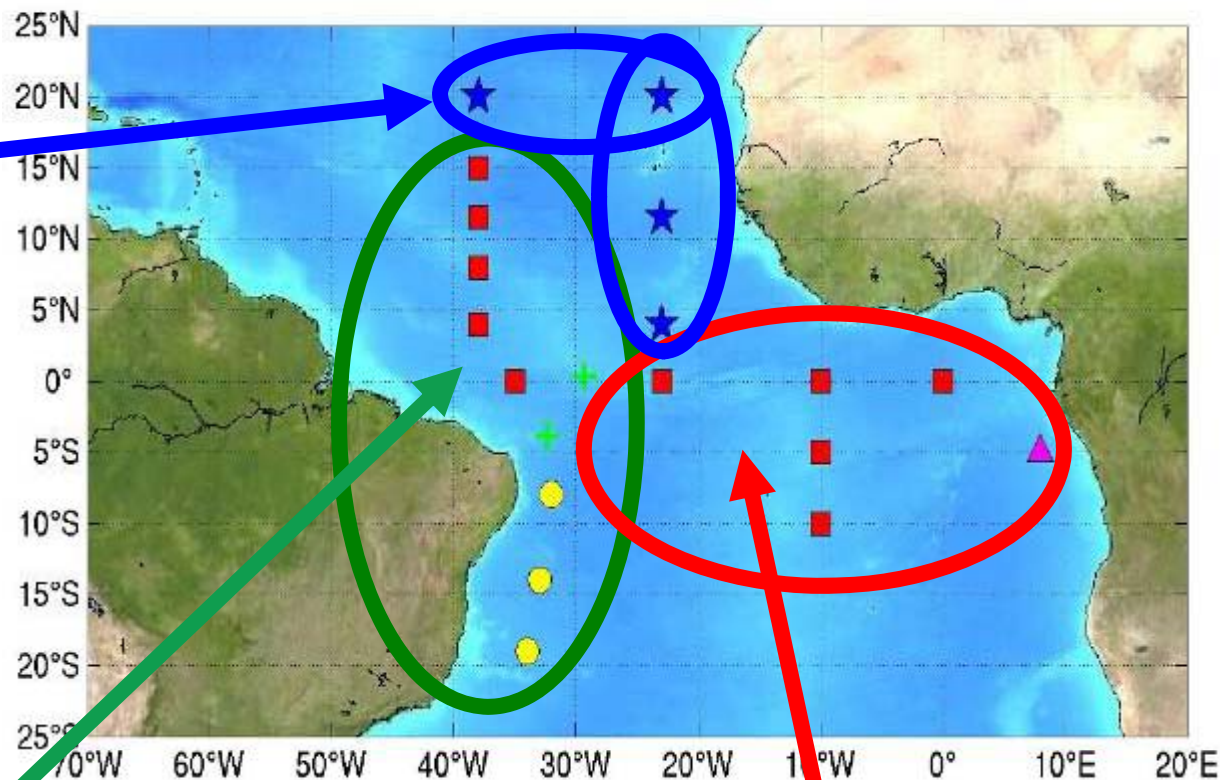




Serviços de
Manutenção
por USA:
4 Bóias ATLAS
(NOAA)



Serviços de
Manutenção por Brasil:
8 Bóias ATLAS
(INPE+DHN)

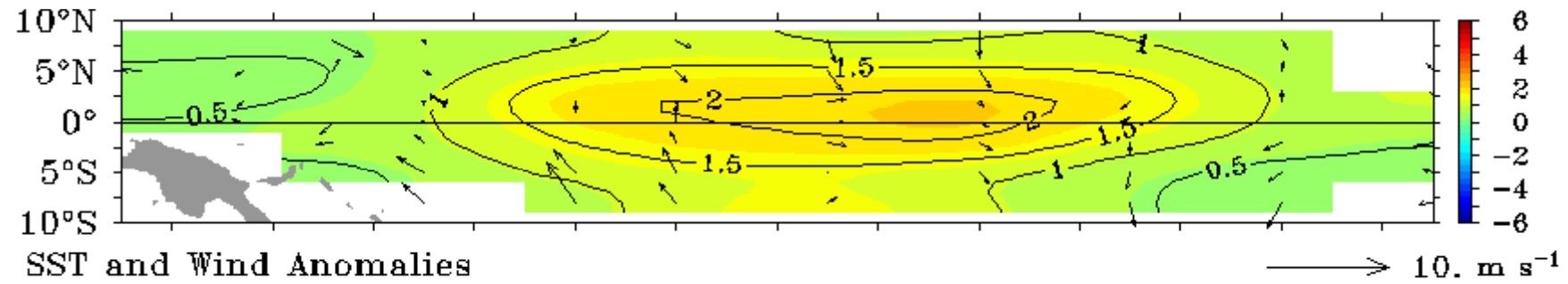


■ Serviços de Manutenção
por França:
6 Bóias ATLAS ATLAS
(IRD)

⇒ **18 Bóias ATLAS Prestadas Serviços de Manutenção
Anualmente desde 2007 !**

TAO/TRITON Monthly Data November 2009

SST (°C)

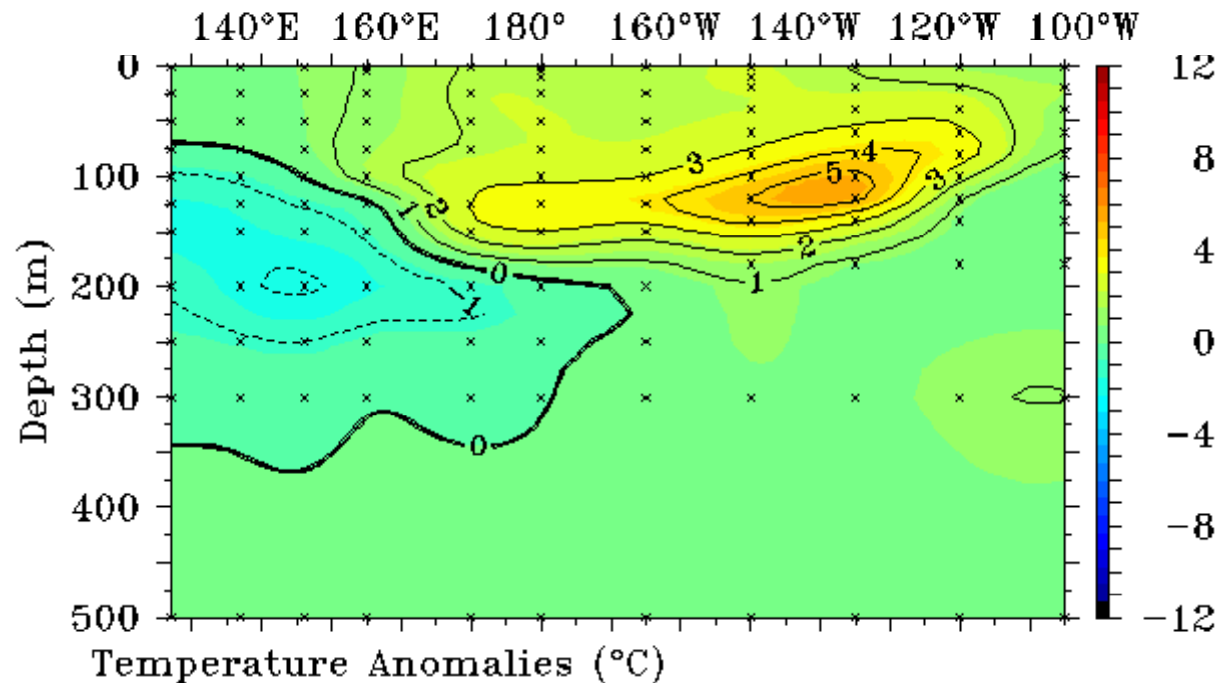


TAO Project Office/I

Monthly Data November 2009

Nov 22 2009

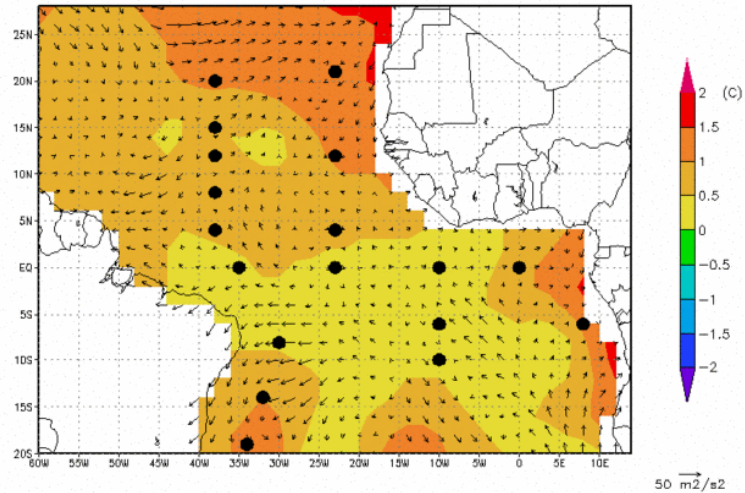
2°S to 2°N Average



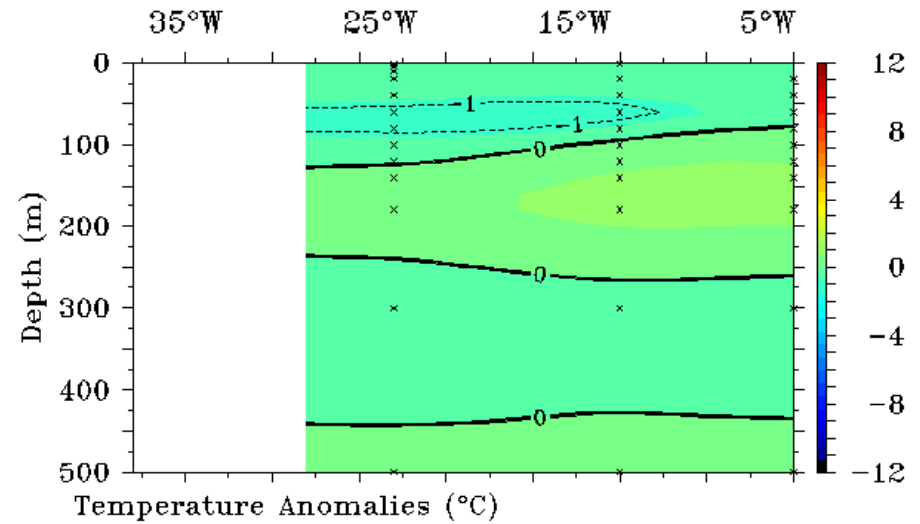
TAO Project Office/PMEL/NOAA

Nov 22 2009

Tropical Atlantic SST and Pseudostress Vectors Anomalies – Oct 2009



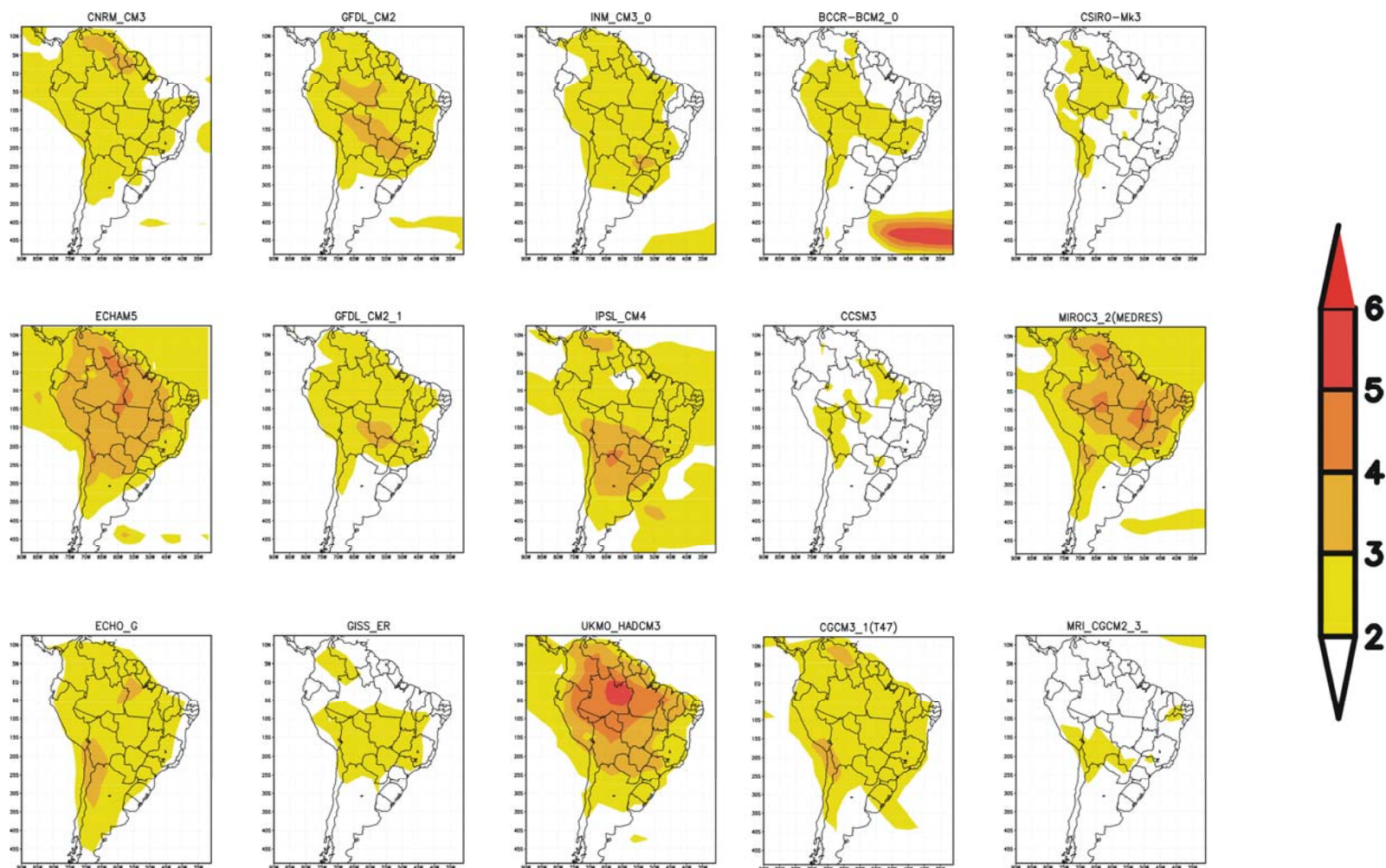
Monthly Data November 2009 at the Equator



Muito obrigado !!!

Jacques.Servain@gmail.com

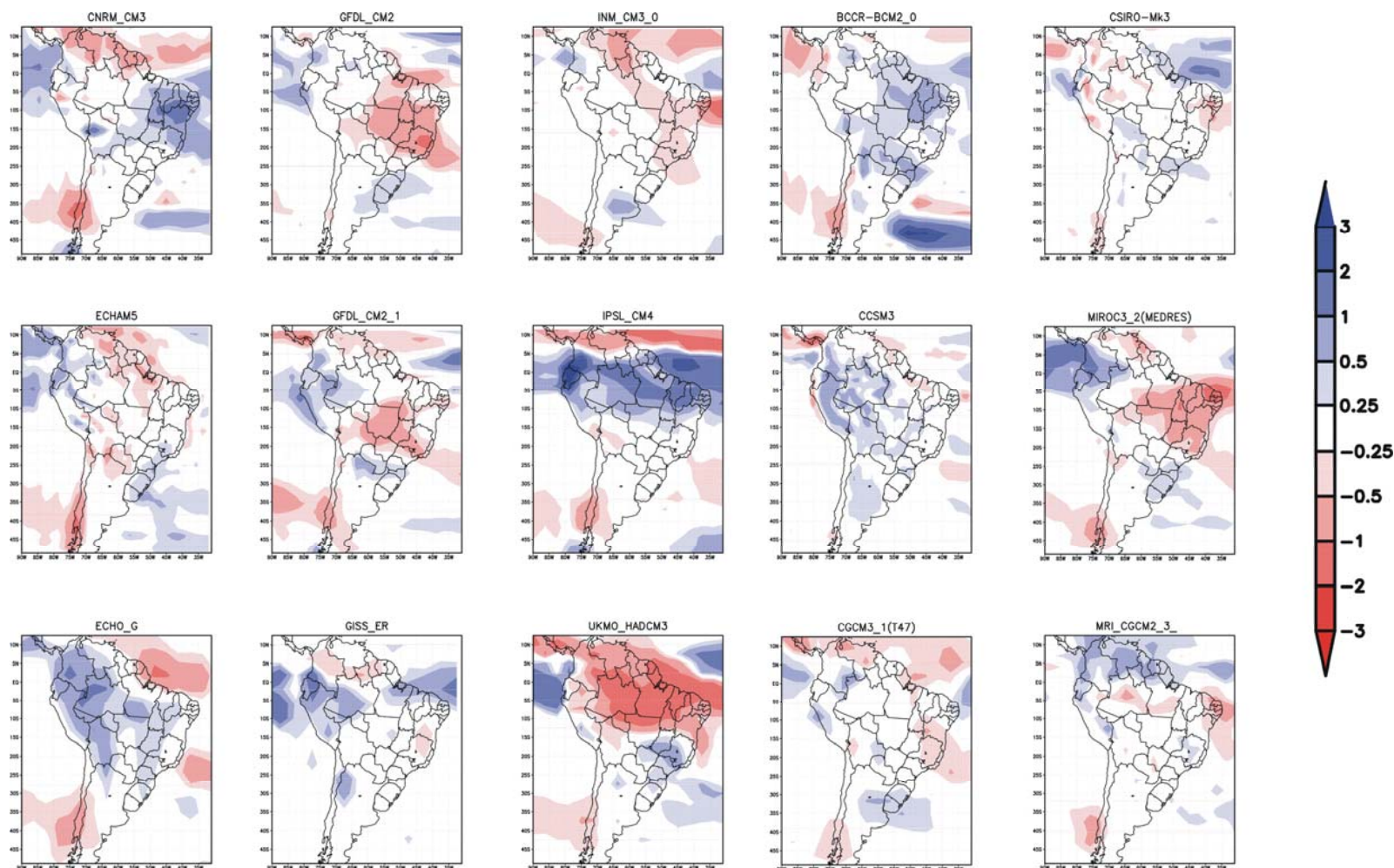
Cenários Climáticos globais para América do Sul



Projeções de anomalias de **temperatura** (mm/dia) para América do Sul para o período de **2090-2099 (Cenário B1)** em relação ao período base de **1961-1990** para 15 diferentes modelos climáticos globais disponíveis através do IPCC.

(From C. Nobre, 2009)

Cenários Climáticos globais para América do Sul



Projeções de anomalias de **precipitação** (mm/dia) para América do Sul para o período de **2090-2099 (Cenário B1)** em relação ao período base de **1961-1990** para 15 diferentes modelos climáticos globais disponíveis através do IPCC.

(From C. Nobre, 2009)

Previsões de Mudanças de Vazões Anuais em 2050 para o Cenário A1B

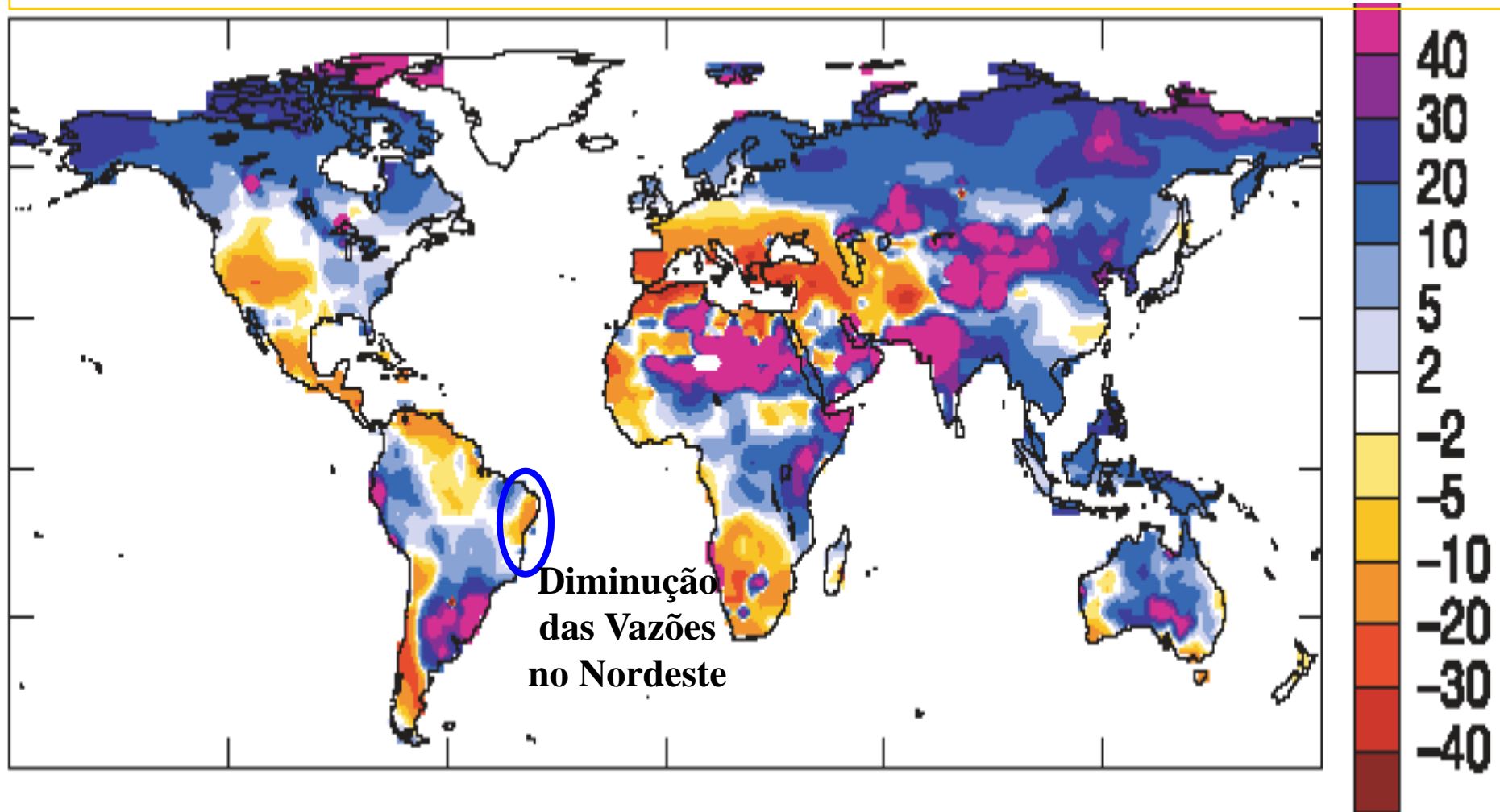
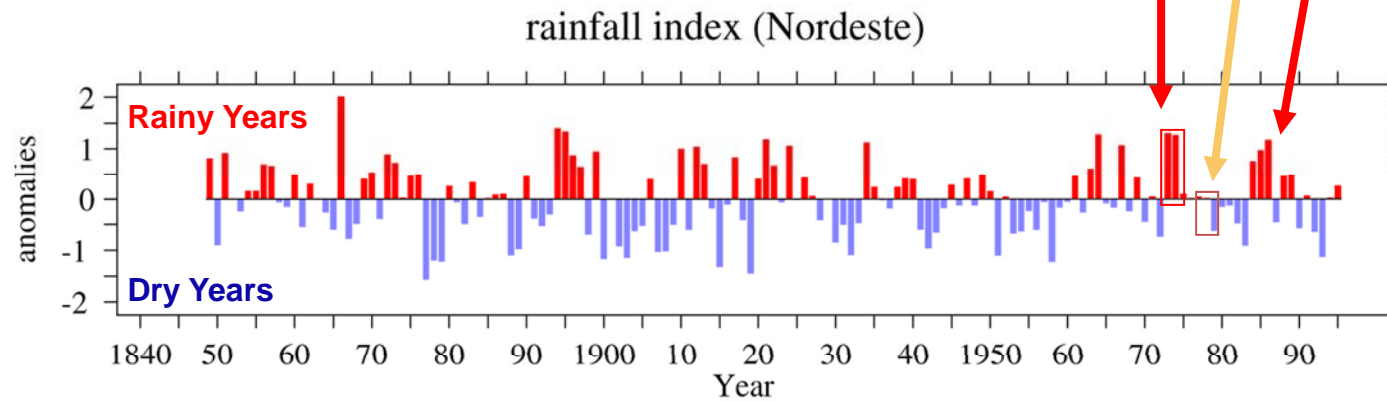
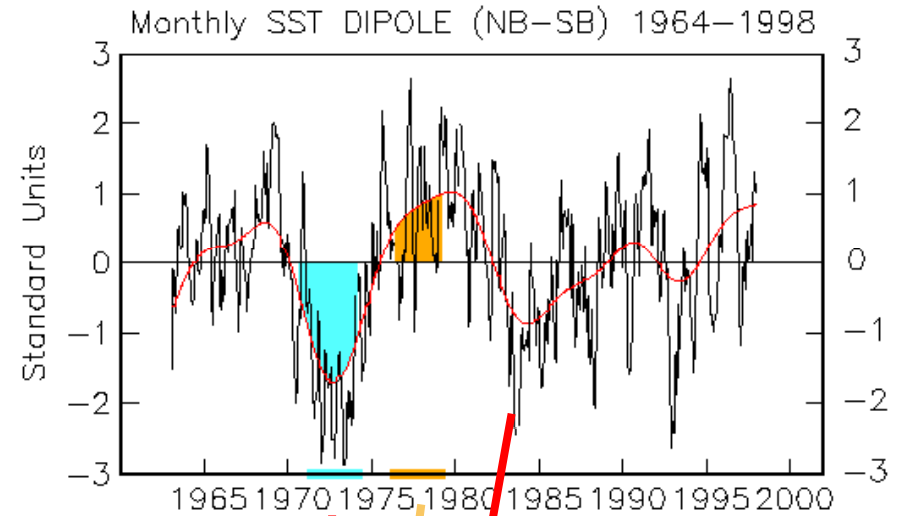
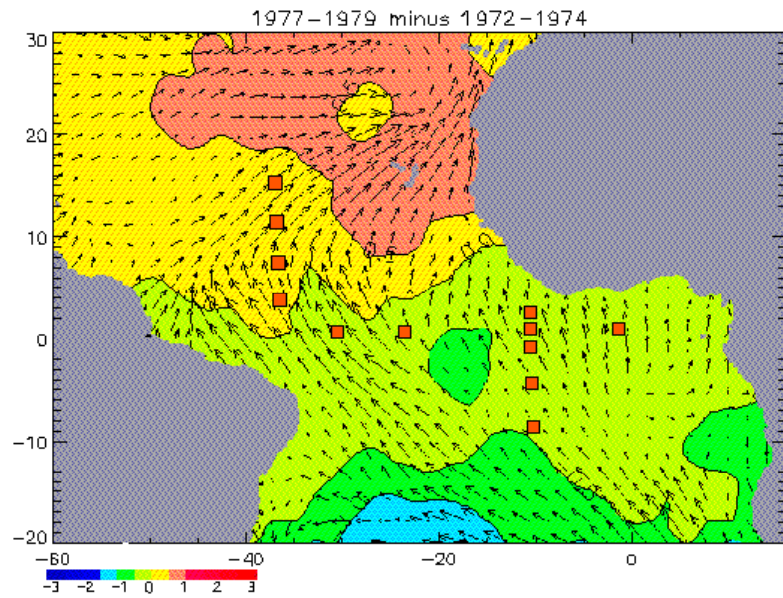


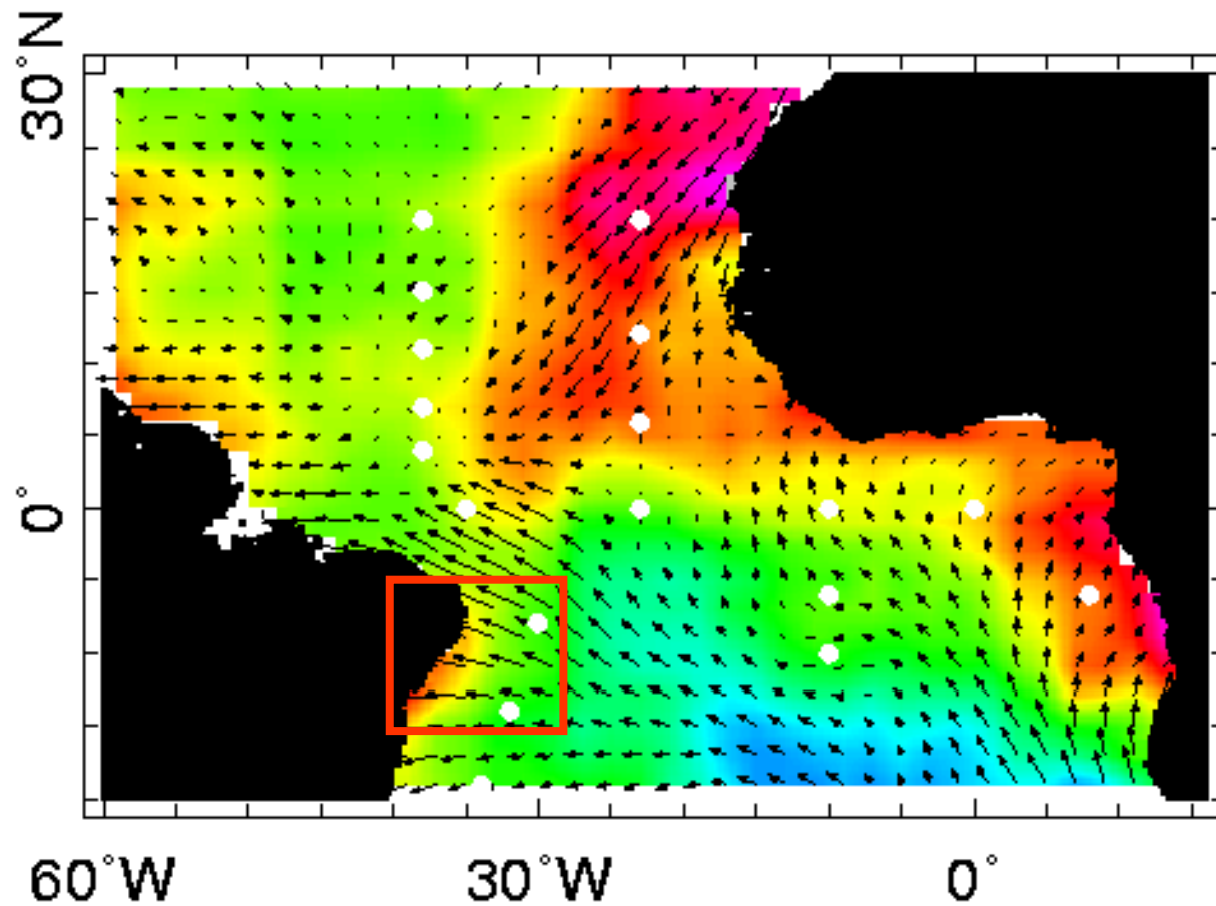
Figura 3.4: Mudança da média do conjunto de 12 modelos climáticos para a vazão média anual (%), em 2050 para o cenário de emissões SRE A1B (Milly et al., 2005).

(From C. Nobre, 2009)

An Illustration of the TA Dipole



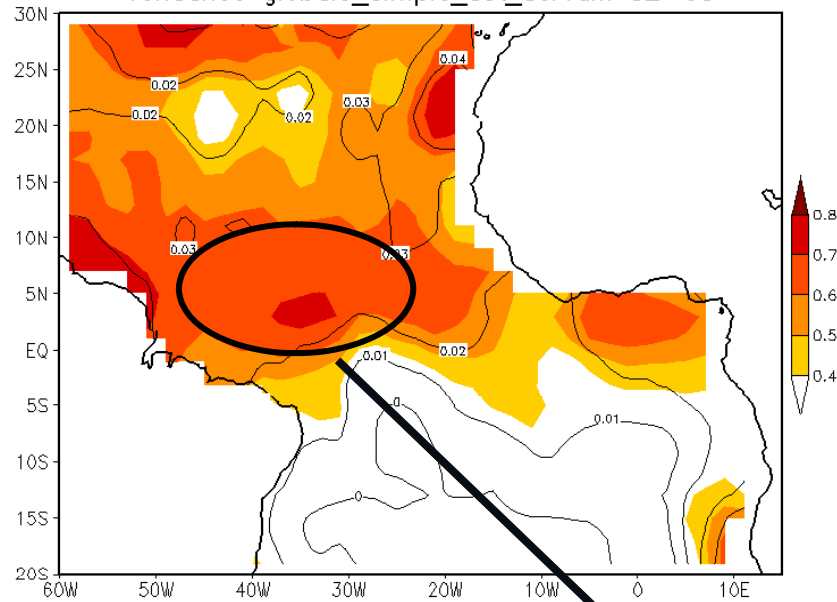
SST and PWS Anomaly 1997-2006 vs. 1964-2003



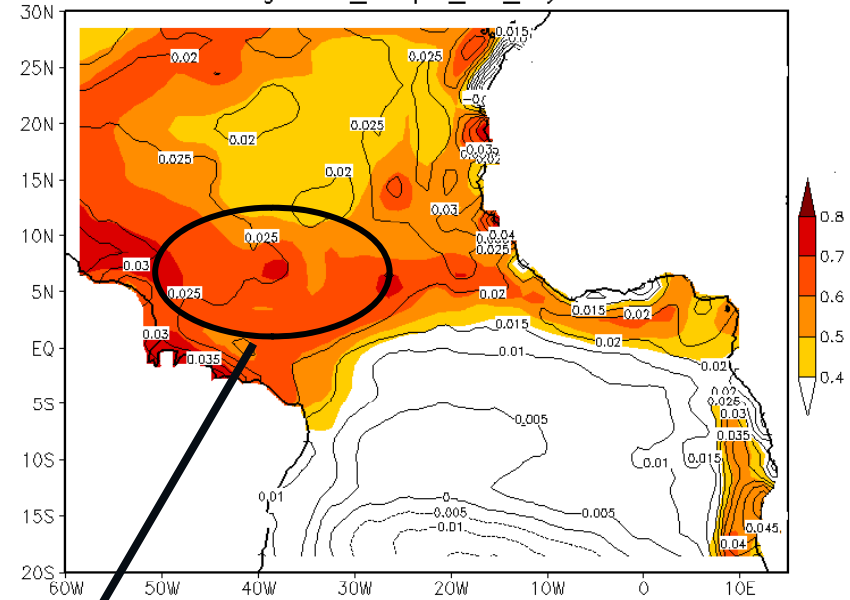
0°C 0.2°C 0.4°C 0.6°C
sea surface temperature anomaly

SST Linear Trend 1982-2008

Tendance globale_simple_sst_servain 82-08



Tendance globale_simple_sst_reynolds 82-08



+0.03 °C/Year
~ +0.75 °C/27-Year